

Генерация быстрых ионов в фемто- и пикосекундной лазерной плазме при низких потоках нагревающего излучения

**А. Я. Фаенов⁺, А. И. Магунов[△], Т. А. Пикуз^{++*}, И. Ю. Скобелев^{++*}, С. Стажира^{□1)}, Ф. Калегари^{□1)},
М. Низоли^{□1)}, С. Де Сильвестри^{□1)}, Л. Полетто^{▽ 2)}, П. Виллорези^{▽ 2)}, А. А. Андреев[○]**

⁺*Объединенный институт высоких температур РАН, 127412 Москва, Россия*

^{*}*Центр данных по спектрам многозарядных ионов ВНИИФТРИ, 141570 Менделеево, Московская обл., Россия*

[△]*Институт общей физики им. А.М. Прохорова РАН, 119991 Москва, Россия*

[□]*National Laboratory for Ultrafast and Ultraintense Optical Science – CNR-INFN, Department of Physics, Politecnico
20133 Milano, Italy*

[▽]*Laboratory for Ultraviolet and X-Ray Optical Research – CNR-INFN, D.E.I. – Universita di Padova, Padova, Italy*

[○]*Институт лазерной физики, ГОИ им. С.И. Вавилова, 193232 Санкт-Петербург, Россия*

Поступила в редакцию 15 августа 2006 г.

Проведены исследования рентгеновских спектров фторопластовых мишней, нагреваемых лазерными импульсами длительностью 60 фс – 1 пс. Экспериментально показано, что при использовании лазерных импульсов низкого контраста эффект самофокусировки лазерного излучения в создаваемой предимпульсами преплазме может существенно способствовать генерации быстрых частиц, и ионы высоких энергий ~ 1 МэВ в этом случае могут наблюдаться при сравнительно низких значениях лазерного потока $q_{\text{las}} \approx (4-6) \cdot 10^{16} \text{ Вт/см}^2$.

PACS: 32.30.Rj, 52.50.Jm, 52.70.La

1. Взаимодействие интенсивных лазерных импульсов с веществом приводит к созданию плазмы, в которой распределение частиц (как электронов, так и ионов) по энергиям, вообще говоря, не является равновесным и не может быть описано максвелловским распределением. Однако в области не слишком высоких энергий максвелловская функция может служить весьма неплохим приближением к реальной ситуации, что позволяет вводить для описания плазмы понятия температуры электронов T_e и ионов T_i . При этом отклонения реальной функции распределения от равновесной в области высоких энергий (то есть в области энергий, заметно превышающих значения T_e и T_i) принято связывать с генерацией в плазме быстрых частиц. Генерация быстрых частиц в плазме наносекундных лазерных импульсов экспериментально изучалась уже на протяжении нескольких десятилетий, и для таких процессов были получены эмпирические закономерности, описывающие зависимости энергии быстрых ионов от параметра $F = q_{\text{las}}\lambda_{\text{las}}^2$,

где q_{las} – плотность потока лазерного излучения, а λ_{las} – длина его волны. При укорочении лазерного импульса до пико- и фемтосекундных длительностей условия генерации быстрых частиц ухудшаются, и заметные количества быстрых ионов наблюдаются только при существенно более высоких значениях параметра F в сравнении с наносекундными импульсами. Так, например, при использовании плоских твердотельных мишней и наносекундных лазерных импульсов быстрые ионы с энергиями ~ 1 МэВ наблюдались при $F \sim 10^{14} \text{ Вт} \cdot \text{см}^{-2} \cdot \text{мкм}^2$ (см., например, обзоры [1, 2]), а для пико- и фемтосекундных импульсов – лишь при $F \geq 10^{18} \text{ Вт} \cdot \text{см}^{-2} \cdot \text{мкм}^2$ [3–14]. Следует, однако, подчеркнуть, что хотя обычно при определении параметра F в него подставляется значение потока лазерного излучения, падающего на плазму, в действительности здесь должно использоватьсь локальное значение $q_{\text{las, plasma}}$ внутри плазмы, которое при наличии, например, самофокусировки может быть существенно выше. Таким образом, если в плазме происходит самофокусировка лазерного излучения, то условия генерации быстрых частиц значительно смягчаются, и ионы высоких энергий могут наблюдаться при гораздо меньших значениях параметра F . Такой эффект недавно наблюдался в работе [15], где при самофокусировке фемтосекундных им-

¹⁾ S. Stagira, F. Calegari, M. Nisoli, S. De Silvestri. (National Laboratory for Ultrafast and Ultraintense Optical Science – CNR-INFN, Department of Physics, Politecnico, Piazza L. da Vinci 32, 20133 Milano, Italy).

²⁾ L. Poletto, P. Villorosi. (Laboratory for Ultraviolet and X-Ray Optical Research – CNR-INFN, D.E.I. - Universita di Padova, Padova, Italy)

пульсов в кластерной мишени мегаэлектронвольтные ионы были зарегистрированы при значении параметра $F \sim 10^{16}-10^{17} \text{ Вт} \cdot \text{см}^{-2} \cdot \text{мкм}^2$. В настоящей работе экспериментально показано, что аналогичный эффект может иметь место и при использовании твердотельных мишеней, нагреваемых пикосекундными импульсами низкого контраста. В данном случае самофокусировка основного лазерного импульса происходит в сравнительно протяженной преплазме, создаваемой лазерным предимпульсом. При этом при значениях параметра $F \sim (4-6)10^{16} \text{ Вт} \cdot \text{см}^{-2} \cdot \text{мкм}^2$ в плазме генерируется заметное количество ионов с энергиями $\sim 1 \text{ МэВ}$.

2. Схема эксперимента показана на рис.1а. Экспериментальные исследования были выполнены на лазерной установке ULTRAS Национальной лаборатории сверхкоротких и сверхинтенсивных оптических наук Миланского Политехнического Университета (National Laboratory for Ultrafast and Ultraintense Optical Science Politecnico di Milano, Italy) [16]. Использовался Ti:Sa-лазер с длиной волны 800 нм и частотой повторения 10 Гц. Энергия лазерного импульса достигала 130 мДж, а длительность могла варьироваться в пределах 60 фс – 1 пс за счет изменения расстояния между решетками компрессора. Временной контраст лазерного импульса составлял $\sim 10^{-5}$ в наносекундной шкале и $10^{-2}-10^{-4}$ в пикосекундной (см.рис.1б). Исследовалось взаимодействие лазерных импульсов с CF_2 – твердотельными мишенями, а также с CF_2 и Al фольгами различной толщины. Лазерное излучение фокусировалось на мишени под углом 15° к нормали внеосевым параболическим зеркалам в пятно диаметром $\sim 10-20 \text{ мкм}$, так что плотность потока нагревающего излучения изменялась в диапазоне $4 \cdot 10^{15}-6 \cdot 10^{17} \text{ Вт}/\text{см}^2$ при изменении длительности лазерного импульса от 1 пс до 60 фс. Поскольку в каждом импульсе излучения происходило разрушение материала в зоне облучения, то мишень смешалась от импульса к импульсу на расстояние несколько сотен микрометров. Фокусировка лазерного излучения и разлет образующейся плазмы контролировалась рентгеновской камерой-обскурой с диаметром отверстия 15 мкм, обеспечивающей увеличение 1:1 и регистрирующей излучение в диапазоне энергий выше 0.4 кэВ на рентгеновской пленке RAR-2492. Характерная обскуrogramма разлета лазерной плазмы, образованной при фокусировке Ti:Sa лазерного излучения с энергией 128 мДж и длительностью импульса 1 пс на поверхность алюминиевой фольги толщиной 13 мкм, представлена на рис.1с. Изображение излучающей плазмы на этом рисунке свидетельствует о наличии канализации лазерного из-

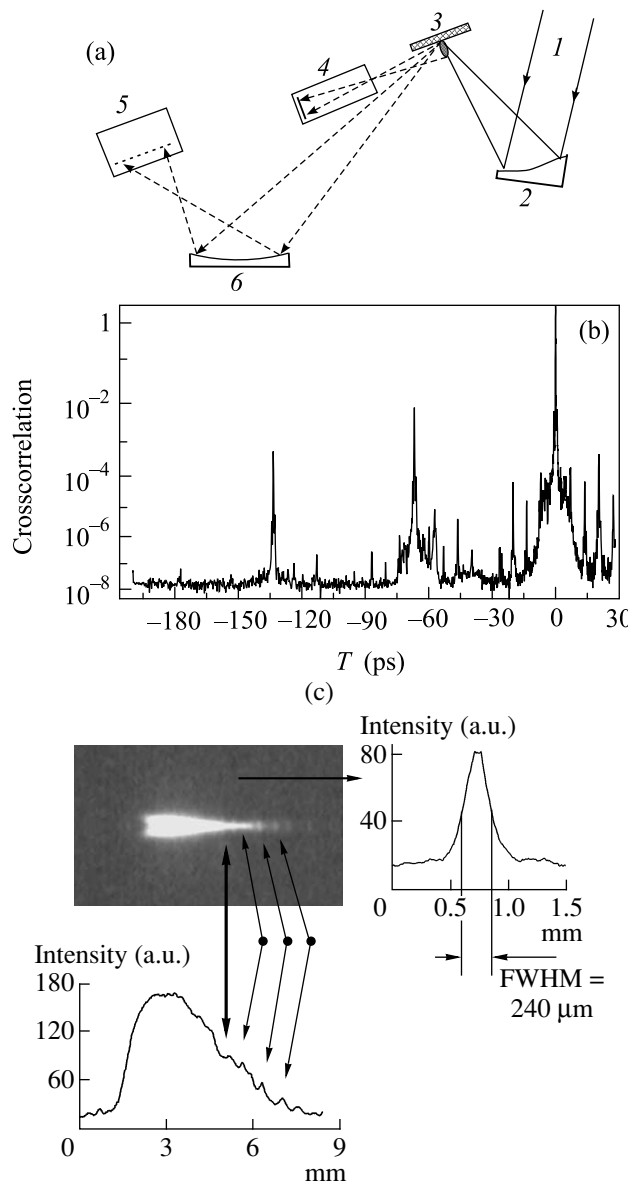


Рис.1. (а) Схема рентгеноспектральных измерений лазерной плазмы тефлона: 1 – лазерный пучок, 2 – внеосевое параболическое зеркало, 3 – мишень, 4 – камера-обскура, 5 – ПЗС-камера, 6 – сферически изогнутый кристалл. (б) Измеренная с помощью кросскоррелятора форма лазерного импульса (хорошо видно наличие интенсивных предимпульсов на 65 и 130 пс). (с) Характерная рентгеновская обскуrogramма плазмы, образующейся при облучении алюминиевой фольги толщиной 13 мкм излучением Ti:Sa-лазера с длительностью импульса 1 пс и энергией 128 мДж

лучения за счет эффекта самофокусировки. Наблюдаемая модуляция интенсивности рентгеновского излучения плазмы также свидетельствует в пользу режима самофокусировки при прохождении лазерного излучения по плазменному каналу.

Спектры рентгеновского излучения в области 1.41–1.62 нм регистрировались ФСПР спектрографом [17, 18] со сферически изогнутым кристаллом слюды ($2d = 1.991$ нм). Радиус кривизны составлял $R = 100$ мм, а размер рабочей области – 15×50 мм². Рентгеновское излучение регистрировалось рентгеновской ПЗС матрицей (Roper Scientific, 1300 × 1300 ячеек) с размером ячейки 20 мкм. От видимого и ультрафиолетового излучения ПЗС матрица защищалась тремя слоями полипропиленовой пленки толщиной 1 мкм, покрытой слоем алюминия толщиной 0.2 мкм. Дисперсионная схема спектрографа была настроена на работу в первом порядке отражения (расстояние от плазменного источника до кристалла 220 мм, брэговский угол $\theta = 49.8^\circ$, расстояние от кристалла до ПЗС матрицы 93.3 мм), что позволяло наблюдать резонансные линии He_β и Ly_α ионов F VIII и F IX и их диэлектронные сателлиты со спектральным разрешением $\lambda/\delta\lambda \sim 5000$ в диапазоне длин волн 1.41–1.62 нм. Спектры регистрировались с одномерным пространственным разрешением ~ 48 мкм в направлении перпендикулярно направлению разлета плазменного факела (плоскости рис.1).

3. Зарегистрированные спектры резонансных линий He_β и Ly_α ионов F VIII и F IX можно использовать для оценки параметров образованной плазмы. Сопоставление экспериментальных спектров с модельным расчетом позволило определить как электронную температуру плазмы, так и распределение ионов по скоростям, которое аппроксимировалось суммой нескольких максвелловских функций. Диагностика быстрых ионов проводилась рентгеноспектральными методами, базирующимися на том факте, что профили спектральных линий, излучаемых плазмой, благодаря эффекту Доплера, чувствительны к распределению ионов по скоростям.

На рис.2 приведен пример спектра излучения плазмы тефлона в окрестности линий He_β и Ly_α . Результаты измерений указывают на небольшую асимметрию крыльев линий, которая в нашем случае объясняется анизотропией разлета быстрых ионов в пикосекундной плазме. Возможно, в красное крыло линий также вносят вклад диэлектронные сателлиты, однако их интенсивности для фтора очень незначительны. Тонкая сплошная кривая – результат аппроксимации центральной части линий и их ближних крыльев с использованием следующего модельного выражения для интенсивности излучения в линиях

$$I(\lambda) = C \sum_j A_j \{ S_j(\lambda) + b_j \exp[-(\lambda - \lambda_j)^2 / \Delta\lambda_{w,j}^2] \} N_j, \quad (1)$$

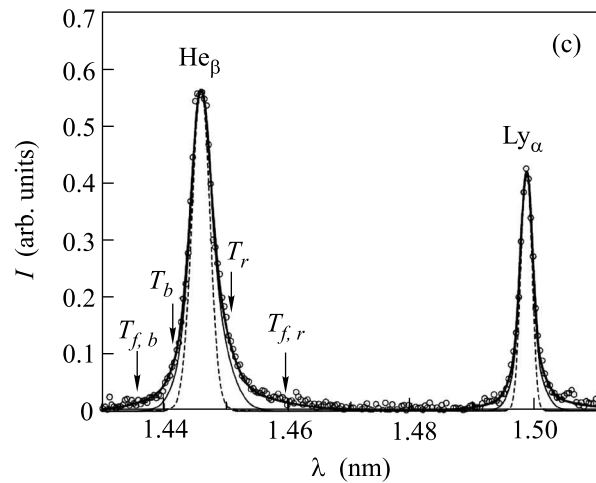


Рис.2. Измеренный спектр излучения ионов F IX и F VII в лазерной плазме тефлона в области длин волн линий He_β и Ly_α . Лазерный импульс с длительностью 1 пс и энергией 128 МДж. Пунктирная линия – результат моделирования центральной части линий по формуле (2): $N_e = 2 \cdot 10^{20}$ см⁻³, $T_e = 122$ кэВ, $T_{\text{He}} = 14$ кэВ, $T_{\text{H}} = 5$ кэВ, оптические толщины $\tau_\alpha = 0.7$ и $\tau_\beta = 0.34$ (для характерного размера плазмы 100 мкм). Сплошная тонкая линия – результат моделирования центральной части и ближних крыльев линий по формуле (1): $T_{b,\text{He}} = 60$ кэВ, $T_{r,\text{He}} = 90$ кэВ, $T_{b,\text{H}} = 25$ кэВ, $T_{r,\text{H}} = 35$ кэВ. Жирные линии – аппроксимация далеких крыльев линий (излучение от быстрых ионов): $T_{f,b,\text{He}} = 0.4$ МэВ, $T_{f,r,\text{He}} = 0.8$ МэВ, $T_{f,b,\text{H}} = 0.2$ МэВ, $T_{f,r,\text{H}} = 0.4$ МэВ. Стрелки отмечают доплеровский сдвиг линии He_β для иона с энергией, равной соответствующей температуре. Экспериментальные данные отмечены кружками

где C – нормировочная константа, A_j и λ_j – радиационная вероятность и длина волны перехода в линии j , соответственно; N_j – заселенность верхнего уровня для перехода j ; $S_j(\lambda)$ – спектральная функция для центральной части линии j , вычисляемая с учетом штарковского и доплеровского уширения по формуле

$$S_j(\lambda) = \sum_\alpha \int \gamma_{j,\alpha}(E) \exp[-(\lambda - \lambda_{j,\alpha}(E))^2 / \Delta\lambda_j^2] W(E) dE. \quad (2)$$

Здесь $W(E)$ – функция распределения напряженности ионного микрополя E , $\gamma_{j,\alpha}(E) = A_{j,\alpha}(E)/A_j$ и $\lambda_{j,\alpha}(E)$ – коэффициент ветвления радиационной вероятности и длина волны перехода для штарковской компоненты α линии j , соответственно; $\Delta\lambda_j = \lambda_j(2T_i/m_i)^{1/2}/c$ – доплеровская полуширина линии для “тепловых” ионов с температурой T_i , m_i – масса иона, c – скорость света. При электронной плотности ниже критической вклад ударного уширения линий He_β и Ly_α фтора пренебрежимо мал.

Излучение ионов, движущихся в направлении наблюдения (от поверхности мишени), вносят вклад в коротковолновое (“синее”) крыло наблюдаемой спектральной линии. Ионы, движущиеся в противоположном направлении (внутрь мишени), формируют длинноволновое (“красное”) крыло. Поскольку функция распределения ионов по скоростям может быть анизотропной, то для аппроксимации синего и красного крыла линии в (1) использованы максвелловские функции с различными значениями эффективных температур $T_{b,j}$ и $T_{r,j}$, соответственно. В формуле (1) $\Delta\lambda_{w,j} = \lambda_j(2T_{b,j}/m_i)^{1/2}/c$ при $\lambda < \lambda_j$ и $\Delta\lambda_{w,j} = \lambda_j(2T_{r,j}/m_i)^{1/2}/c$ при $\lambda > \lambda_j$ – доплеровские полуширины для синего и красного крыльев линии j , соответственно.

Наблюдаемые относительные интенсивности линий, определяемые, в основном, их центральными областями, моделируются расчетом их ширин по формуле (1) и заселеностей уровней по стационарной столкновительно-радиационной кинетической модели, что позволяет оценить значения электронной концентрации n_e , температуры T_e и эффективной температуры ионов T_i . Расчет проводился для $n_e = 2 \cdot 10^{20} \text{ см}^{-3}$ в приближении линейного штарковского сдвига с использованием функции распределения микрополя, учитывающей дебаевское экранирование и ионные корреляции. Получаемые расчетные кривые $S_j(\lambda)$ по форме мало отличаются от доплеровской. При этом ближние крылья линий (синее и красное) аппроксимируются вкладами экспоненциальных слагаемых в (1) подбором значений эффективных температур ионов $T_{b,j}$ и $T_{r,j}$, а также весовых множителей b_j . Результат такой подгонки показан на рис.2 тонкой сплошной кривой. Пунктирная кривая показывает вклад только центральной части (функция $S_j(\lambda)$). Чувствительность формы линии к значениям параметров достаточно высока, чтобы говорить об их надежности на уровне 10–20%. Для описания далеких крыльев, определяемых вкладом в интенсивность излучения от быстрых ионов, в формуле (1) учитывалось дополнительными экспоненциальными слагаемыми $d_j \exp[-(\lambda - \lambda_j)^2/\Delta\lambda_{f,j}^2]$ с соответствующими температурами $T_{f,b,j}$ и $T_{f,r,j}$. На рис.2 их вклады показаны толстыми линиями.

Следует отметить, что выражения (1) справедливо для оптически тонкой плазмы. Для учета поглощения вблизи центральной области линий в расчете использовалось приближение однородного слоя

$$\bar{I}(\lambda \sim \lambda_j) = \frac{I(\lambda_j)}{\tau_j} [1 - \exp(-\tau_j I(\lambda)/I(\lambda_j))], \quad (3)$$

где τ_j – оптическая толщина плазмы в центре линии j .

Были промоделированы спектры, соответствующие различным параметрам лазерного импульса. Полученные значения параметров плазмы приведены в табл.1 и 2. Значения доли быстрых ионов D_f с энергией выше $E = 0.5 \text{ МэВ}$, указанные в таблицах, определялись из трехтемпературной функции распределения по скоростям $f(v) = (1 - \beta - \delta)f_M(T_{i,v}) + \beta f_M(T_w, v) + \delta f_M(T_f, v)$ соотношением $D_f = \delta[1 - \operatorname{erf}(\sqrt{E/T_f})]/2$, где β и δ определялись по b и d , $\operatorname{erf}(x)$ – функция ошибок.

4. Данные, представленные в табл.1, 2, показывают, что функция распределения ионов по энергии сильно отличается от однотемпературной максвелловской, и основная доля быстрых ионов, вылетающих с передней стороны мишени в сторону спектрометра, может быть аппроксимирована эффективными температурами ионов T_b и T_r от 30 до 100 кэВ, а вылетающих в противоположном направлении – от 30 до 130 кэВ. Существует также вторая группа с меньшим числом ускоренных ионов, которые могут быть аппроксимированы эффективными температурами ионов $T_{f,b,j}$ и $T_{f,r}$ от 150 до 500 кэВ (для движения от поверхности мишени) и от 200 до 900 кэВ (для движения внутрь мишени). Как видно из приведенных таблиц, количество образованных быстрых ионов является довольно значительным и, например, при $F = 4 \cdot 10^{16} \text{ Вт} \cdot \text{см}^{-2} \cdot \text{мкм}^2$ относительное число ионов с энергиями больше 0.5 МэВ, движущихся по нормали к поверхности мишени, составляет около 4%.

Появление быстрых ионов может быть интерпретировано следующим образом. При взаимодействии интенсивного лазерного импульса с мишенью на фронтальной стороне мишени возникает неоднородная плазма с концентрацией электронов, меняющейся от твердотельной до нуля, масштаб неоднородности которой можно оценить как $L_n \approx c_s t_p$. Здесь $c_s = (ZT_{e0}/m_i)^{1/2}$ – скорость ионного звука, t_p – характерная длительность предимпульса, T_{e0} – температура плазмы, нагретой предимпульсом, Z – заряд иона. В наших условиях можно аппроксимировать плазменную корону для простоты однородной плазмой длиной около 100 мкм и концентрацией $n_e \approx 0.1n_c$ (n_c – критическая концентрация).

Как известно, в такой плазме лазерный пучок может испытывать самофокусировку (СФ), если его мощность достаточно высока [19]: $v_E R > c\lambda_p$ или $P > 3 \cdot 10^{10} n_c/n_e$ [Вт]. Здесь v_E , λ_p , R – осцилляционная скорость электрона, длина плазменной волны, радиус лазерного пучка. Для энергии лазерного им-

Таблица 1

Зависимость функции распределения ионов F VIII, F IX от энергии лазерного импульса E_{las} при длительности $t_{\text{las}} = 1 \text{ пс}$ и фокусировке на расстоянии 0.2 мм от поверхности мишени, полученных моделированием измеренных профилей линий He_β и Ly_α . Эффективные температуры ионов приведены в единицах килоэлектронвольт, D_f – доля ионов с энергией выше 0.5 МэВ

E_{las} мДж	F , $\frac{\text{Вт}}{\text{см}^2 \text{мкм}^2}$	T_e , эВ	F VIII					F IX				
			T_i	T_b	D_f	T_r	D_f	T_i	T_b	D_f	T_r	D_f
			$T_{f,b}$		$T_{f,r}$			$T_{f,b}$		$T_{f,r}$		
15	$2.6 \cdot 10^{15}$	105	2.7	30	$3 \cdot 10^{-3}$	45	$6 \cdot 10^{-3}$	2.7	20	$2 \cdot 10^{-3}$	20	$4 \cdot 10^{-3}$
				250		300			150		200	
30	$5.2 \cdot 10^{15}$	113	3.5	30	$7 \cdot 10^{-3}$	50	$2 \cdot 10^{-2}$	2.5	20	$4 \cdot 10^{-3}$	20	$7 \cdot 10^{-3}$
				300		500			200		250	
60	$1.0 \cdot 10^{16}$	121	3.5	40	$8 \cdot 10^{-3}$	60	$2 \cdot 10^{-2}$	2.8	25	$3 \cdot 10^{-3}$	25	$8 \cdot 10^{-3}$
				300		500			200		300	
120	$2.0 \cdot 10^{16}$	128	5	50	$9 \cdot 10^{-3}$	80	$3 \cdot 10^{-2}$	4	25	$2 \cdot 10^{-3}$	35	$6 \cdot 10^{-3}$
				350		700			200		300	
128	$4.0 \cdot 10^{16}$	122	14	60	10^{-2}	90	$4 \cdot 10^{-2}$	5	25	$2 \cdot 10^{-3}$	35	10^{-2}
				400		800			200		400	

Таблица 2

Зависимость функции распределения ионов F VIII, F IX от длительности лазерного импульса t_{las} при энергии $E_{\text{las}} = 120 \text{ мДж}$ и фокусировке на расстоянии 0.4 мм от поверхности мишени, полученных моделированием измеренных профилей линий He_β и Ly_α . Эффективные температуры ионов приведены в единицах килоэлектронвольт, D_f – доля ионов с энергией выше 0.5 МэВ

t_{las} фс	F , $\frac{\text{Вт}}{\text{см}^2 \text{мкм}^2}$	T_e , эВ	F VIII					F IX				
			T_i	T_b	D_f	T_r	D_f	T_i	T_b	D_f	T_r	D_f
			$T_{f,b}$		$T_{f,r}$			$T_{f,b}$		$T_{f,r}$		
1000	$1.8 \cdot 10^{16}$	122	3	50	$5 \cdot 10^{-3}$	70	$3 \cdot 10^{-2}$	2.8	25	$2 \cdot 10^{-3}$	30	$6 \cdot 10^{-3}$
				300		700			200		300	
600	$3.0 \cdot 10^{16}$	122	3	40	$4 \cdot 10^{-3}$	60	$3 \cdot 10^{-2}$	2.8	25	$2 \cdot 10^{-3}$	30	$6 \cdot 10^{-3}$
				250		700			200		250	
60	$3.0 \cdot 10^{17}$	124	6.5	100	$5 \cdot 10^{-4}$	130	$2 \cdot 10^{-3}$	3.5	40	$< 10^{-6}$	90	$2 \cdot 10^{-4}$
			–	–		–			–		–	

пульса 120 мДж и длительности 0.6 пс мы находимся вблизи порога СФ, а при меньших длительностях превышаем его. Кроме того, поскольку в реальности плазма неоднородна, всегда найдется область, где условия СФ выполнены. Длину СФ мы можем оценить по формуле [20] $L_{sf} \approx R \sqrt{n_c T_{e,\text{keV}} / (n_e I_{16} \lambda_{\mu m}^2)}$. Для наших параметров $L_{sf} \approx 50 \text{ мкм}$, следовательно, радиус лазерного пучка уменьшится приблизительно в 3 раза, а интенсивность может возрасти на порядок.

Пондеромоторное давление выдавливает электроны относительно ионов в слое около критической концентрации, в результате чего создается электрическое поле, которое ускоряет ионы. Быстрые ионы движутся в двух направлениях: вперед по лазерному

пучку и назад от мишени. Энергии этих групп ионов можно определить по следующим формулам [21]:

$$\begin{aligned} \varepsilon_c &= \frac{m_i v_c^2}{2} \approx \frac{Z m_e c^2 n_c}{n_i} (\gamma - 1), \\ \varepsilon_p &= \frac{m_i v_p^2}{2} \approx \frac{Z m_e c^2 n_{eh}}{n_c} (\gamma - 1). \end{aligned} \quad (4)$$

Здесь $\gamma = \sqrt{1 + a^2}$, $a = v_E/c = 0.8\sqrt{q_{\text{las},18}}$ где $q_{\text{las},18}$ – лазерный поток в единицах $10^{18} \text{ Вт}/\text{см}^2$, v_p – скорость границы расширяющейся плазмы, v_c – скорость движения критической поверхности, n_{eh} – концентрация быстрых электронов, вылетающих в вакуум. Поперечная скорость ионов из-за пондеромоторного давления [22] $v_i \approx c \frac{ct_L m_e a^2}{D_L m_i} \gamma$ в наших условиях мала, и

ее можно не учитывать. Выражение (4) для $Z = 7$ и потока $q_{\text{las}} = 4 \cdot 10^{16} \text{ Вт/см}^2$ при $n_c = Zn_i$ даёт оценку 70 кэВ, а для $a \approx 0.5$ энергия повышается до 500 кэВ.

Разлет ионов в вакуум также определяется амби-полярным механизмом [23]. Для оценки максимальной энергии быстрого иона мы воспользуемся решением [24]

$$\varepsilon_{i,\max} \approx 2Z\varepsilon_{eh}[\ln(2\omega_{pi}t_{ef})]^2, \quad (5)$$

здесь $\omega_{pi} = (4\pi Z^2 e^2 n_{eh}/m_i)^{1/2}$ и $t_{ef} \approx 1.5t_L$ [25]. В случае относительно низких лазерных интенсивностей средняя энергия быстрых электронов определяется [26] как $\varepsilon_{eh} \approx 30(10q_{\text{las},18}\lambda_{\mu m}^2)^{1/3}T_c^{1/3}$, а в случае высоких интенсивностей средняя энергия быстрых электронов определяется [27] как $\varepsilon_{eh} \approx \approx mc^2(\gamma - 1)$. Для потока $q_{\text{las}} = 4 \cdot 10^{16} \text{ Вт/см}^2$ ($F \sim 2.6 \cdot 10^{16} \text{ Вт} \cdot \text{см}^{-2} \text{ мкм}^2$) по обеим формулам получаем $\varepsilon_{eh} \approx 10$ кэВ. Ионов с энергией выше $\varepsilon_{i,\max}$ мало, так что на этой энергии спектр ионов резко обрывается. Выражение (5) для $Z = 7$ при длительности лазерного импульса 60 фс дает оценку 100 кэВ, а для длительности 600 фс энергия повышается до 500 кэВ. Проведенные оценки согласуются с экспериментальными данными, приведенными в таблицах.

5. Таким образом, в настоящей работе впервые экспериментально показано, что при использовании для нагрева плазмы фемто- и пикосекундных лазерных импульсов низкого контраста эффект самофокусировки лазерного излучения в преплазме может существенно способствовать генерации быстрых частиц. Ионы высоких энергий ~ 1 МэВ в этом случае могут наблюдаться при сравнительно низких значениях лазерного потока $F_{\text{las}} \approx 4 \cdot 10^{16} \text{ Вт} \cdot \text{см}^{-2} \text{ мкм}^2$.

Работа выполнена при частичной поддержке Российского фонда фундаментальных исследований (грант # 06-02-16174). Работа А.Я.Ф. частично поддерживалась Landau Network/Cariplio Foundation Fellowship.

1. S. J. Gitomer, R. D. Jones, F. Begay et al., *Phys. Fluids* **29**, 2679 (1986).
2. F. B. Rosmej, A. E. Stepanov, D. H. H. Hoffmann et al., *ЖЭТФ* **121**, 73 (2002).
3. M. H. Key, M. D. Cable, T. E. Cowan et al., *Phys. Plasmas* **5**, 1966 (1998).

4. S. Dobosz, M. Schmidt, M. Pedrix et al., *ЖЭТФ* **115**, 2051 (1999).
5. A. G. Zhidkov, A. Sasaki, T. Tajima et al., *Phys. Rev. E* **60**, 3273 (1999).
6. K. Krushelnick, E. L. Clark, M. Zepf et al., *Phys. Plasmas* **7**, 2055 (2000).
7. A. Maksimchuk, S. Gu, K. Flippo et al., *Phys. Rev. Lett.* **84**, 4108 (2000).
8. T. Auguste, A. Ya. Faenov, I. Fukumoto et al., *JQSRT* **71**, 147 (2001).
9. A. G. Zhidkov, A. Sasaki, I. Fukumoto et al., *Physics of Plasma* **8**, 3718 (2001).
10. A. A. Андреев, В. М. Комаров, А. В. Чарухчев и др., *ЖЭТФ* **121**, 266 (2002).
11. A. I. Magunov, A. Ya. Faenov, I. Yu. Skobelev, et. al, *Laser and Particle Beam* **21**, 73 (2003).
12. Y. Fukuda, Y. Akahane, M. Aoyama et al., *Laser and Particle Beam* **22**, 215 (2004).
13. В. С. Беляев, В. И. Виноградов, А. С. Курилов и др., *ЖЭТФ* **125**, 1295 (2004).
14. В. С. Беляев, В. И. Виноградов, А. П. Матафонов и др., *Письма в ЖЭТФ* **81**, 753 (2005)
15. K. Y. Kim, H. M. Milchberg, A. Ya. Faenov et al., *Phys. Rev. E* **73**, 066403 (2006).
16. F. Calegari, S. Stagira, C. D' Andrea et al., *Appl. Phys. Lett.* **2006** (accepted).
17. A. Ya. Faenov, S. A. Pikuz, A. I. Erko et al., *Physica Scripta* **50**, 333 (1994).
18. I. Yu. Skobelev, A. Ya. Faenov, B. A. Bryunetkin et al., *JETP* **81**, 692 (1995).
19. Guo-Zheng Sun, Edward Ott, Y. C. Lee, and Parvez Guzdar, *Phys. Fluids* **30**, 526 (1987).
20. R. Kodama, J. C. Garrison, and A. M. Rubenchik, *Phys. Rev. Lett.* **77**, 4906 (1996).
21. A. A. Andreev, J. Limpouch, A. B. Iskakov, and H. Nakano, *Phys. Rev. E* **65**, 026403 (2002).
22. M. Feit, J. C. Garrison, and A. M. Rubenchik, *Phys. Rev. E* **53**, 1068 (1996).
23. А. Гуревич и др., *ЖЭТФ* **22**, 449 (1966).
24. P. Mora, *Phys. Rev. Lett.* **90**, 185002 (2003).
25. Y. Oishi, T. Nayuki, T. Fujii et al., *Phys. Plasmas* **12**, 073102 (2005).
26. K. Estabrook and W. Kruer, *Phys. Rev. Lett.* **40**, 42 (1977).
27. S. C. Wilks, A. B. Langdon, T. E. Cowan et al., *Phys. Plasmas* **8**, 542 (2001).